

SCOPE成果発表会
2010.6.11

総務省「戦略的情報通信研究開発推進制度(SCOPE)」

半導体ナノ構造による 量子情報インターフェースの研究

東京工業大学・極低温物性研究センター

藤澤 利正

研究分担者：佐々木 智 (NTT物性基礎研)
林 稔晶 (NTT物性基礎研)
太田 剛 (NTT物性基礎研)
江藤 幹雄 (慶應義塾大学)

量子情報技術への期待

量子コンピュータ

重ね合わせ状態を利用した量子並列計算

量子暗号

量子力学の原理に基づく秘匿性

- 要素技術:
- ・初期化
 - ・量子演算
 - ・測定(観測)
 - ・集積化
 - ・十分なコヒーレンス時間

- ・伝送

物理系

核スピン

原子状態

電荷状態

励起子

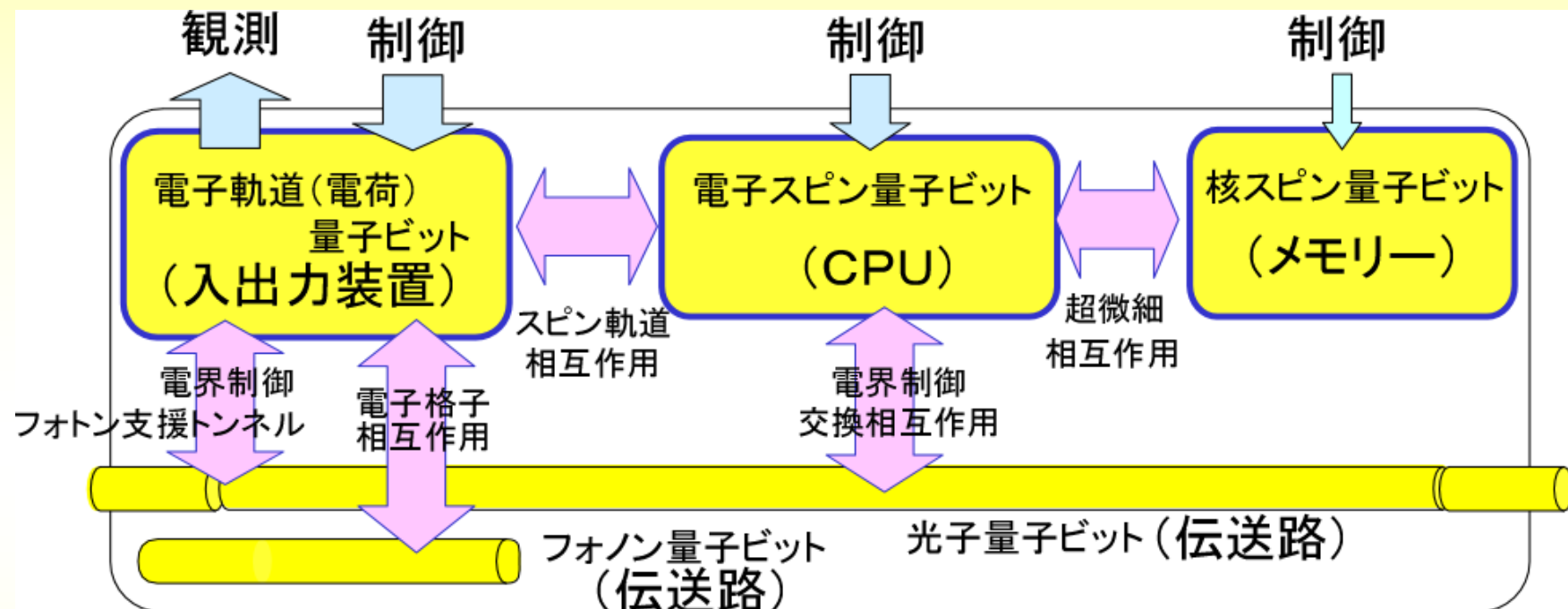
光子

磁束量子

電子スピン

量子情報インターフェース

半導体ナノ構造による量子情報インターフェースの研究



基礎実験(物性) & 理論

半導体ナノ構造で現れる様々な相互作用に関する基礎物性(実験と理論)を研究し、量子情報インターフェースへの可能性を探る。

代表的な研究成果(2005~2009年度)

双方向単一電子電流計
Science 312, 1634 (2006)

電荷量子ビットによる
多機能二量子ビット操作
PRL 103, 056802 (2009)

カーボンナノチューブ
三重量子ドット
Nano Lett. 8, 1055 (2008)

表面弾性波フォノンによる分光測定
PRL 96, 136807 (2006)

総計(2005~2009年度)
査読付き論文数 54 件
口頭発表数 142 件
申請特許数 3 件
報道発表 2 件

広帯域キャパシタンス測定
APL 96, 032104 (2010)

スピン流の生成方法
JPSJ 74, 1934 (2005)

スピン緩和選択則
スピン相関の形成手法
PRL 95, 056803 (2005)

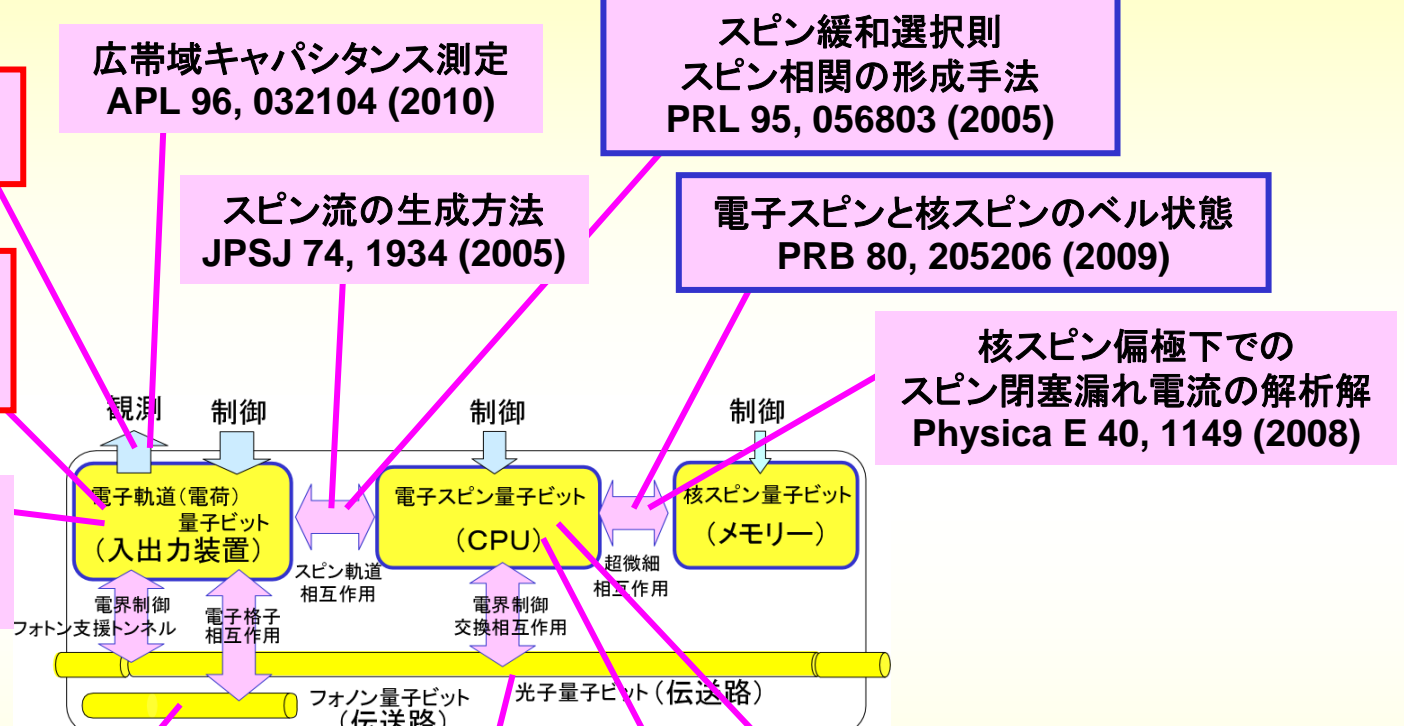
電子スピンと核スピンのベル状態
PRB 80, 205206 (2009)

核スピン偏極下での
スピン閉塞漏れ電流の解析解
Physica E 40, 1149 (2008)

エッジマグネットプラズモンの
時間分解測定
PRB 81, 085329(2010)

近藤効果とファン効果の競合
Phys. Rev. Lett. 103, 266806 (2009)

少数電子系のスピン状態
Phys. Rev. B 76, 041302, (2007)

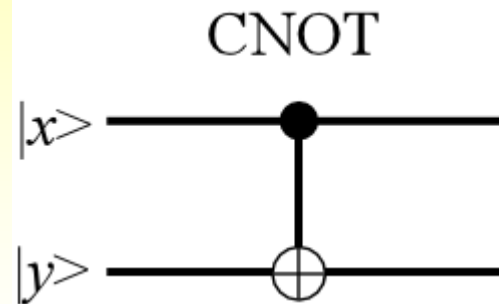


多機能二量子ビット操作

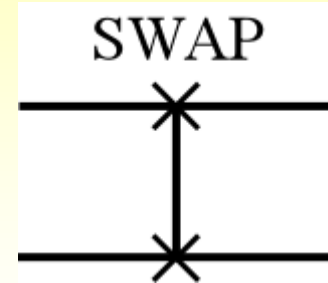
*G. Shinkai, T. Hayashi, T. Ota, and T. Fujisawa,
"Correlated coherent oscillations in coupled semiconductor charge qubits",
Phys. Rev. Lett. 103, 056802 (2009).*

*T. Fujisawa, G. Shinkai, T. Hayashi, and T. Ota,
'Multiple Two-qubit Operations for a Coupled Semiconductor Charge Qubit'.
to be published (2010).*

Two-qubit unitary operators



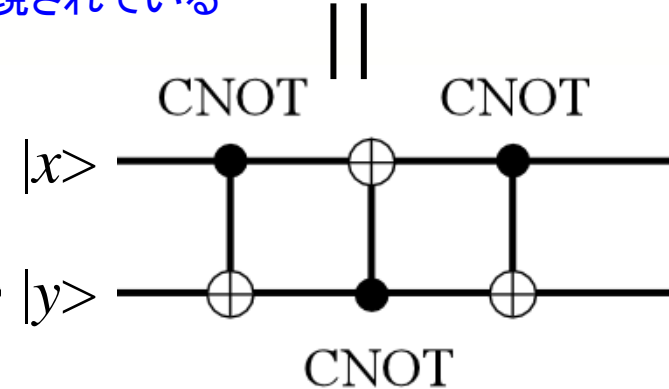
量子計算アルゴリズムの実現に重要



量子情報の交換(量子情報インターフェース)
エンタングルメント生成($\sqrt{\text{SWAP}}$)に便利

|| 通常、どちらか一方が実現されている

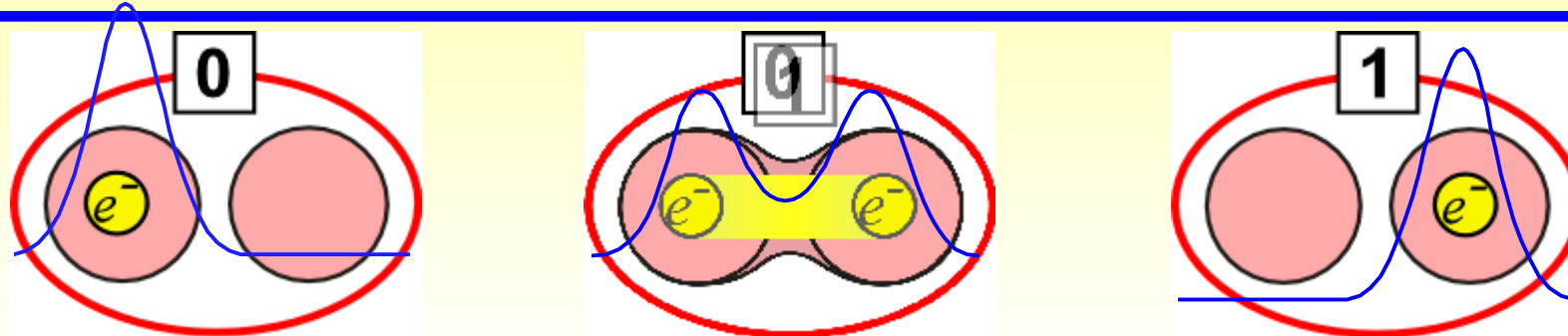
$$U_{CNOT} = R_{1y}\left(-\frac{\pi}{2}\right)R_{1z}\left(\frac{\pi}{2}\right)R_{2z}\left(-\frac{\pi}{2}\right)$$
$$\sqrt{\text{SWAP}}R_{1z}\left(\frac{\pi}{2}\right)\sqrt{\text{SWAP}}R_{1y}\left(\frac{\pi}{2}\right)$$



1量子ビットとの組み合わせによって、相互に実現可能であるが、少数ステップが望まれる。

半導体電荷量子ビットにより、
重要な2量子ビットを各々1ステップで実現する。

Semiconductor charge qubit



Advantages:

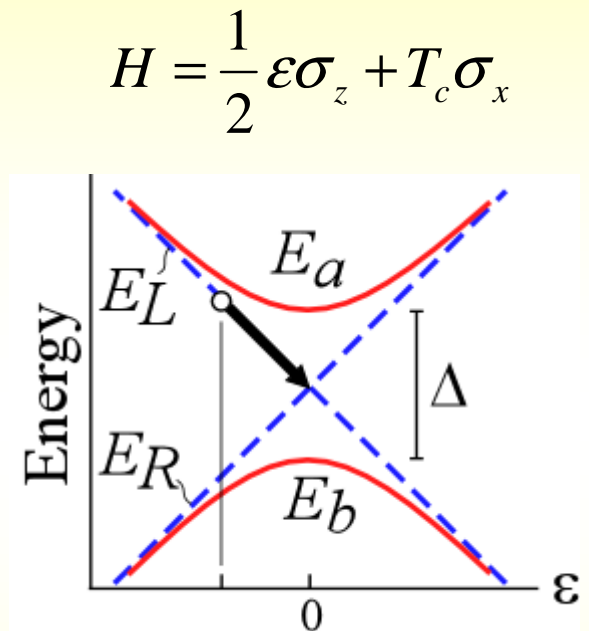
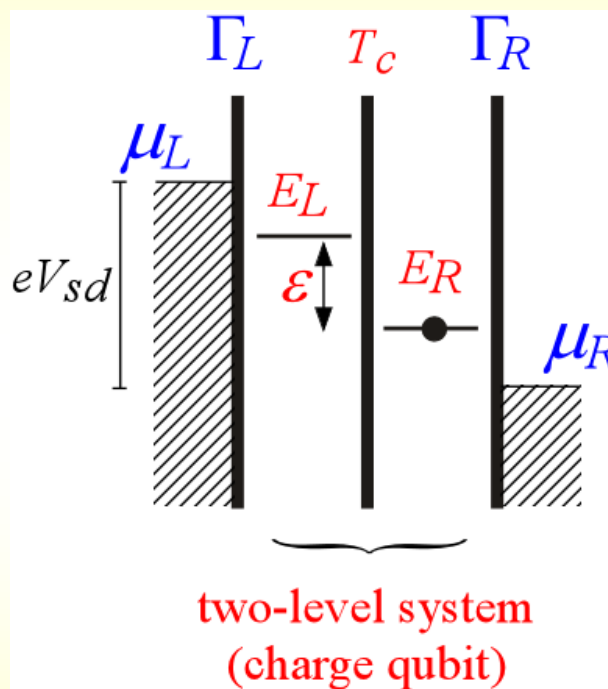
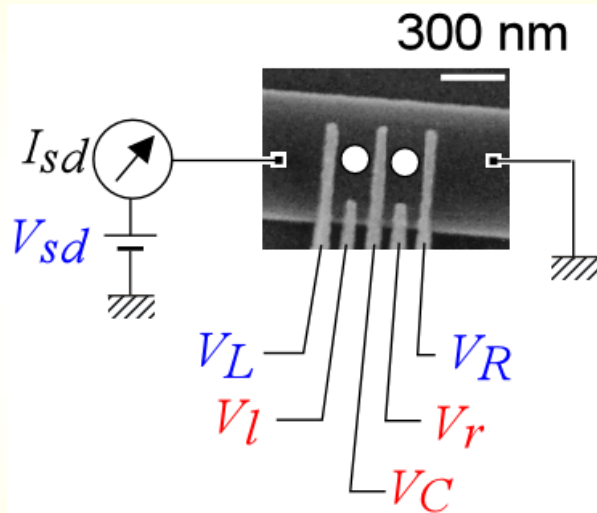
- Potentially scalable with nanofabrication techniques
EB lithography, etc.
- Electrically tunable qubit parameters
- Mature nanoelectronics
Single electron circuits, Charge detector (QPC), etc.
- Materials
Semiconductors (GaAs, Si, ...), molecules, etc.
- Insensitive to nuclear spins!

Disadvantages:

- Short coherence time
Electron-phonon coupling
Background charge fluctuation

Semiconductor charge qubit

A double quantum dot
fabricated in AlGaAs/GaAs 2DEG
(schematically shown by circles)

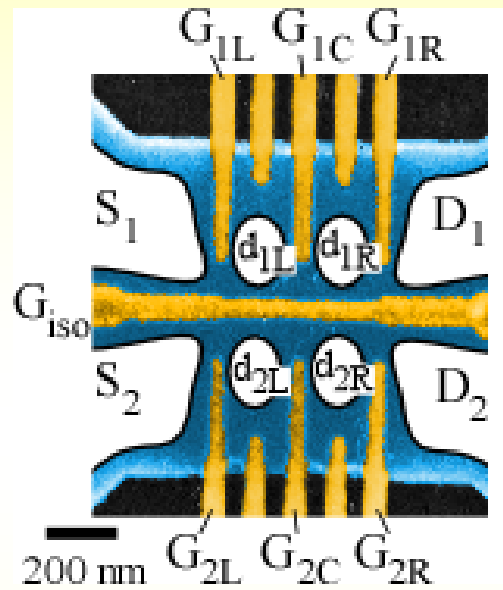


Lattice temp. ~ 20 mK (2 ueV)
Electron temp. ~ 100 mK (9 ueV)

Approximate number of electrons: 10 ~ 30
Charging energy of each dot: ~ 1 meV
< Typical energy spacing in each dot: ~200 ueV
Electrostatic coupling energy: ~200 ueV

Experimental parameters in the device

SEM image of the device

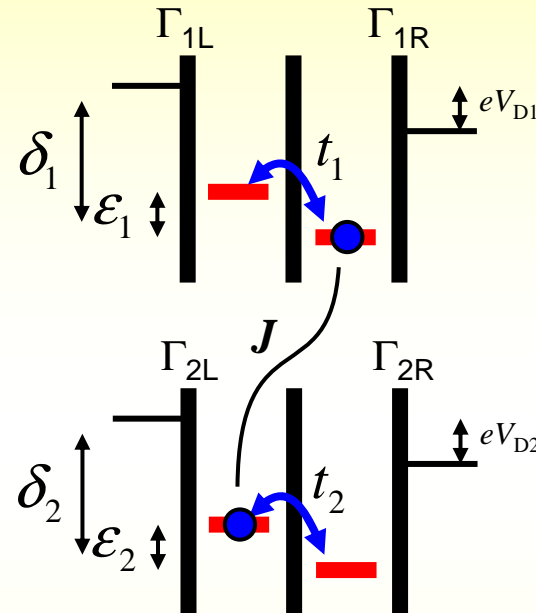


Qubit Hamiltonian

$$H_{\text{DQD1}} = \frac{1}{2}\epsilon_1\sigma_{1z} + t_1\sigma_{1x}$$

$$H_{\text{DQD2}} = \frac{1}{2}\epsilon_2\sigma_{2z} + t_2\sigma_{2x}$$

$$H_{\text{int}} = \frac{1}{4}J\sigma_{1z}\sigma_{2z}$$



ϵ_1, ϵ_2 : Detuning of Qubit 1 and 2

t_1, t_2 : Tunneling coupling of Qubit 1 and 2

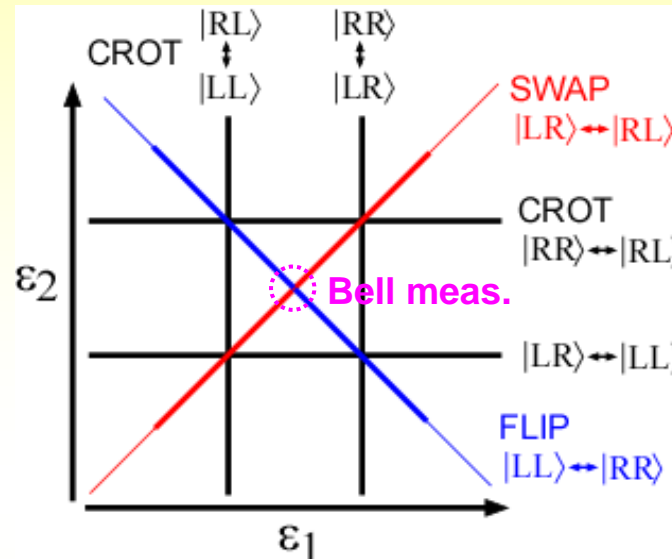
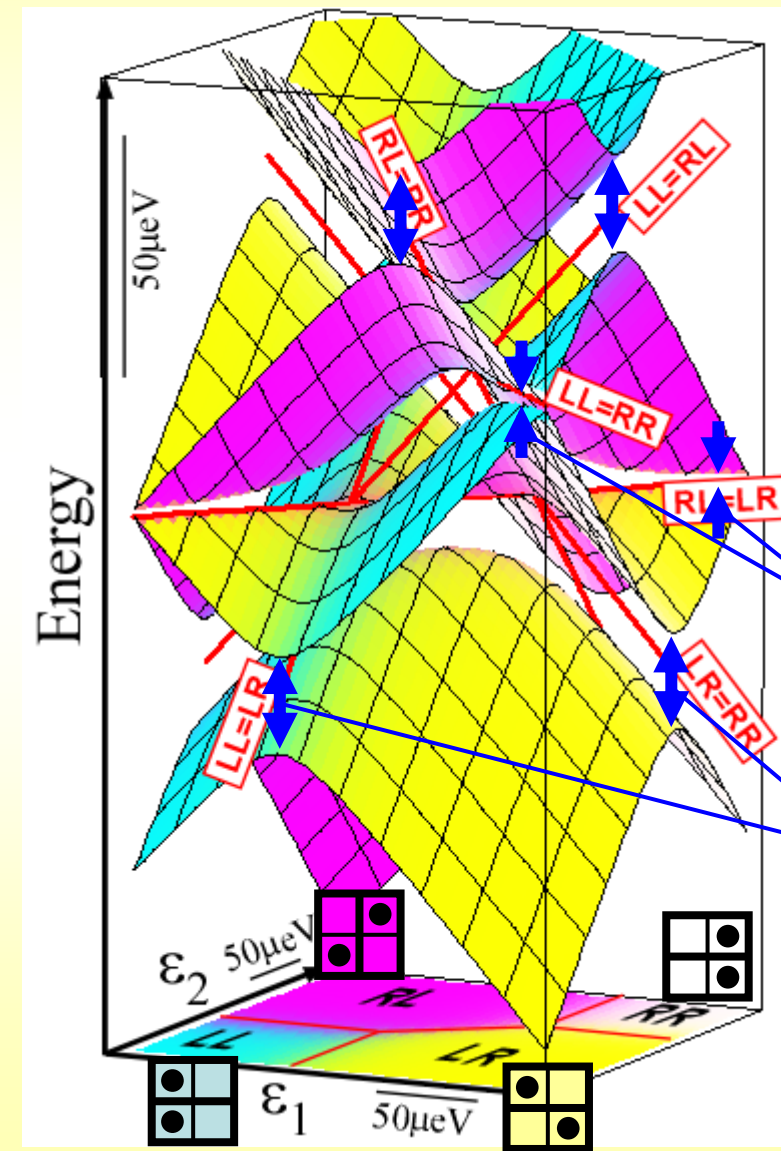
J : Electrostatic coupling between the two qubits

δ_1, δ_2 : Average electrochemical potentials of Qubit 1 and 2

$\Gamma_{1L}, \Gamma_{1R}, \Gamma_{2L}, \Gamma_{2R}$: Tunnel rates to the leads

eV_{D1}, eV_{D2} : Bias voltages of Qubit 1 and 2

Eigenenergies of the two-qubit system



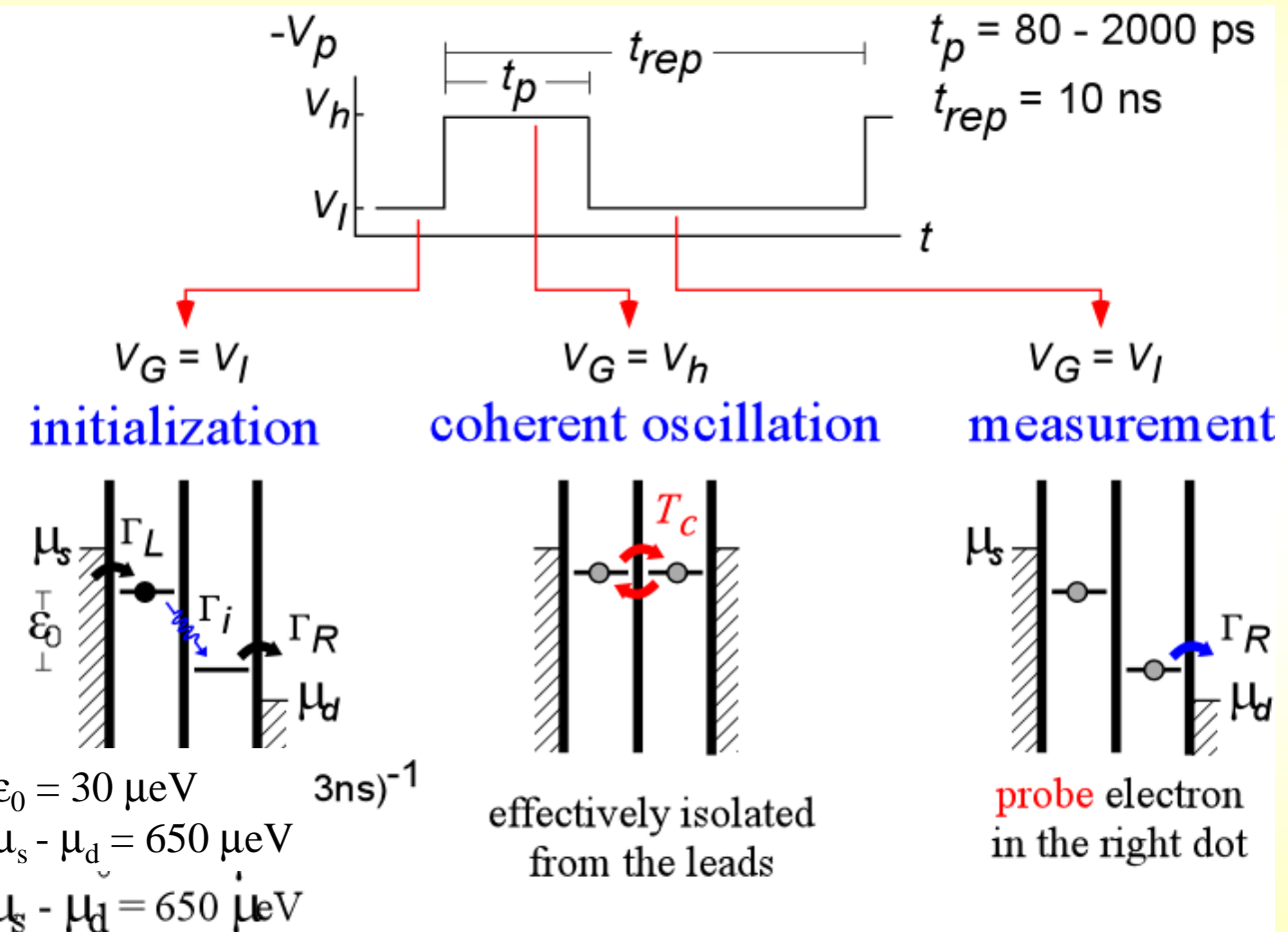
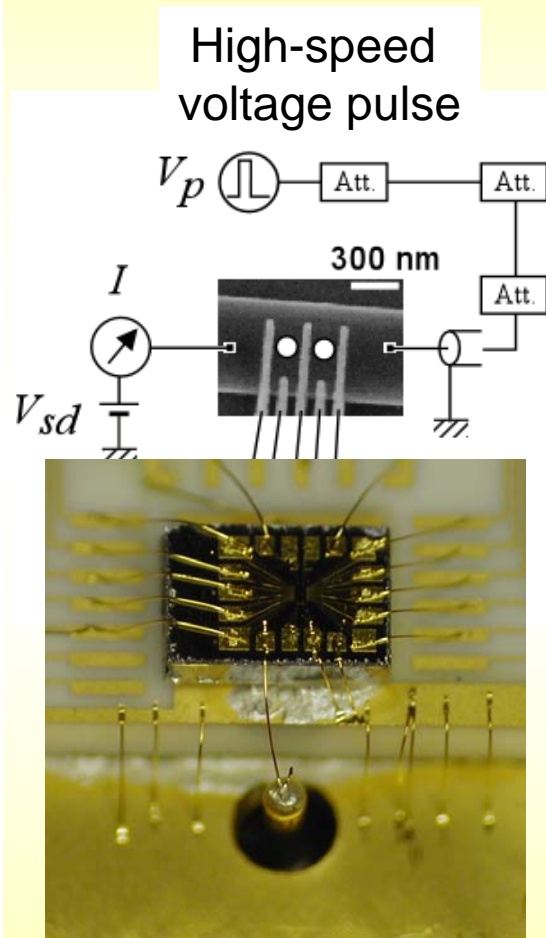
2nd order coupling $\sim \frac{Jt_1t_2}{|\epsilon|^2 - J^2 / 4}$

Correlated coherent oscillations
(SWAP,FLIP,BELL)

1st order coupling t_1, t_2

Controlled coherent oscillations
(CROT)

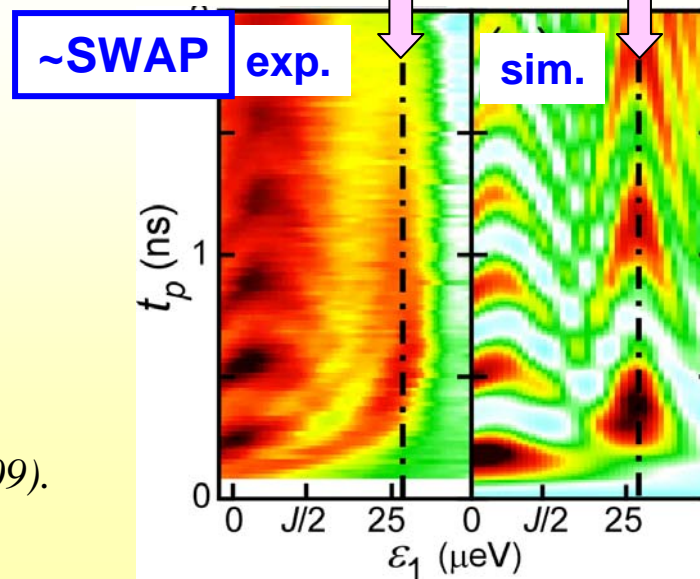
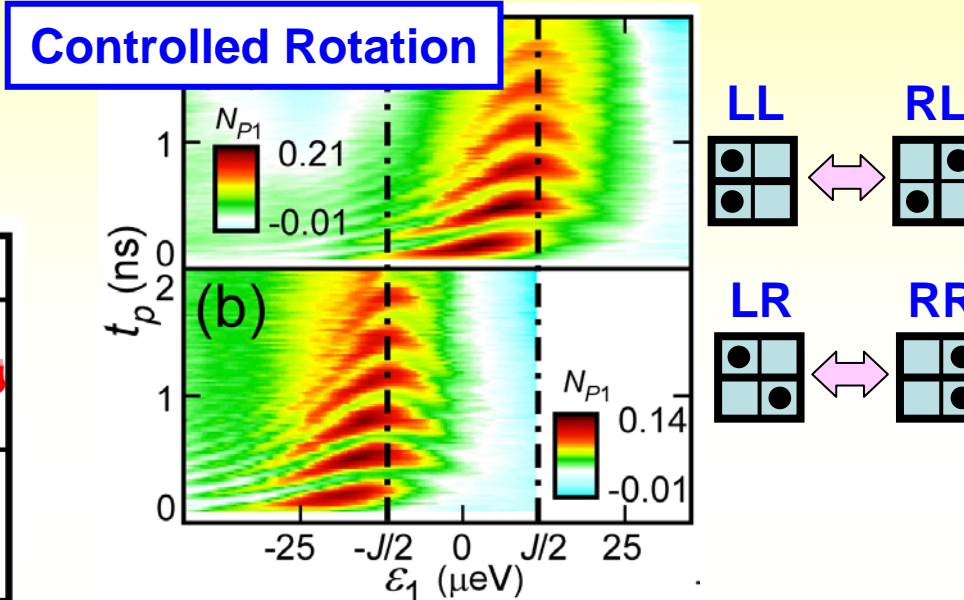
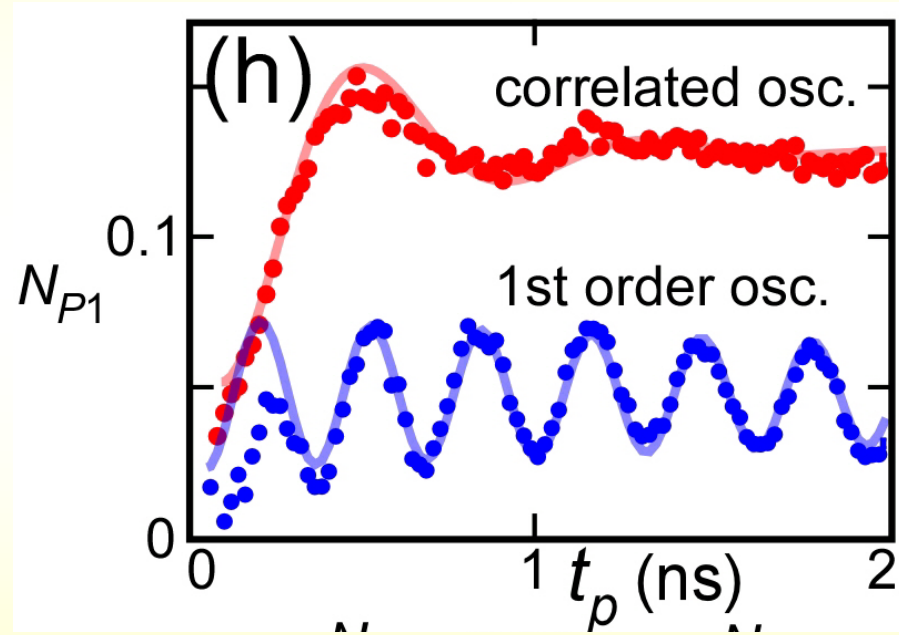
High-speed pulse measurement



$$I_{mod} = I(t_p) - I(t_p = 0)$$

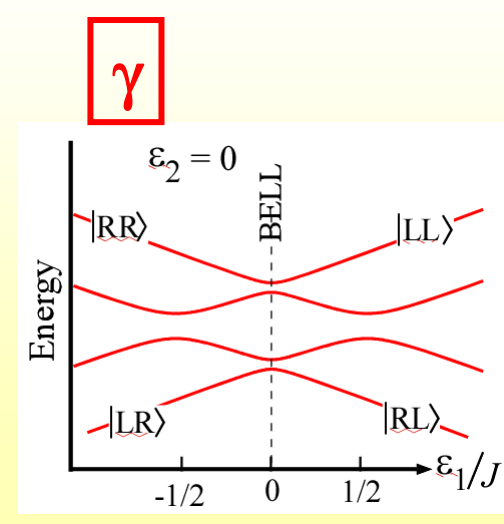
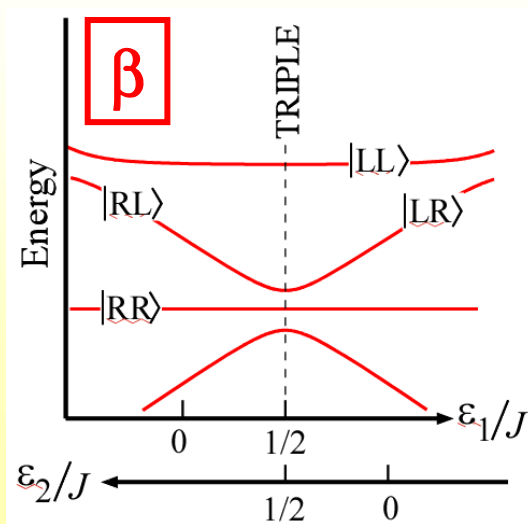
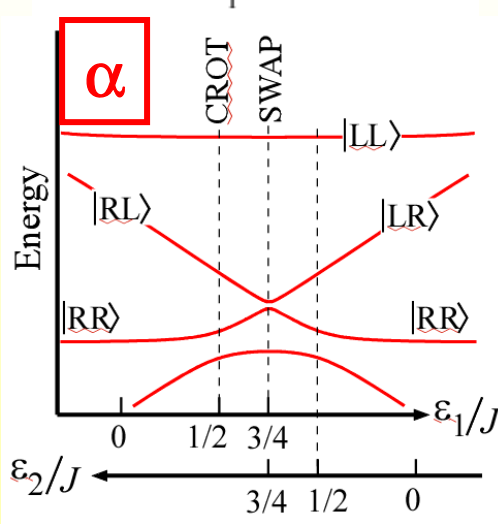
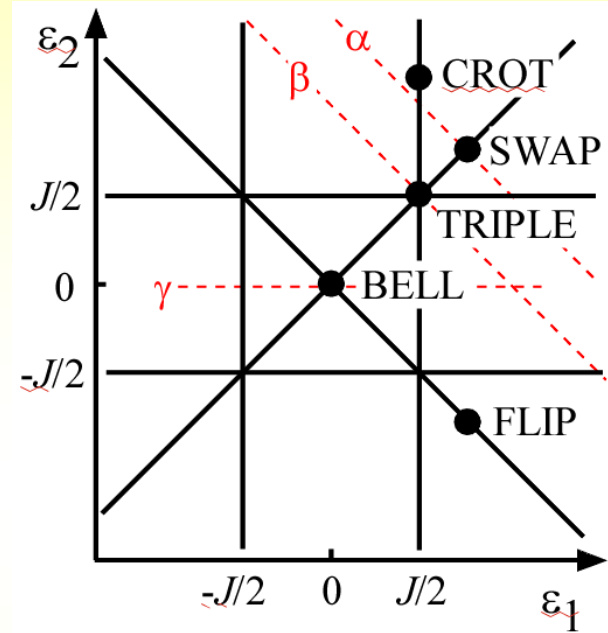
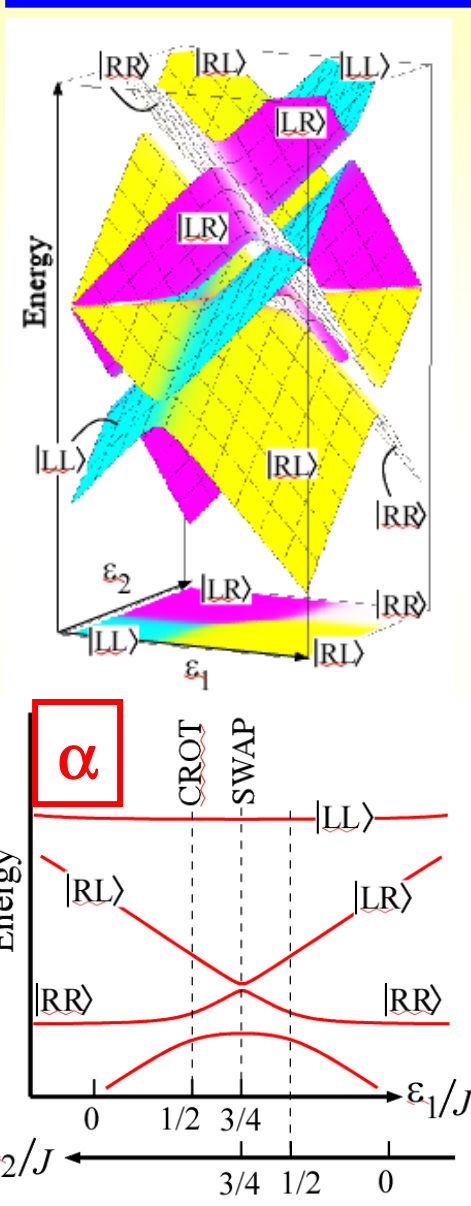
= (coherent pumping current) + (reduction of inelastic current)

Experiments



G. Shinkai et al., Phys. Rev. Lett. 103, 056802 (2009).

Multiple quantum operations

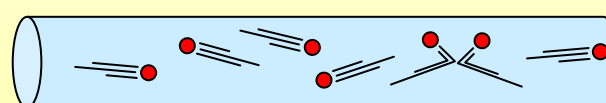
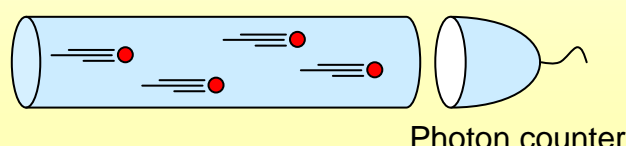


单一電子電流計

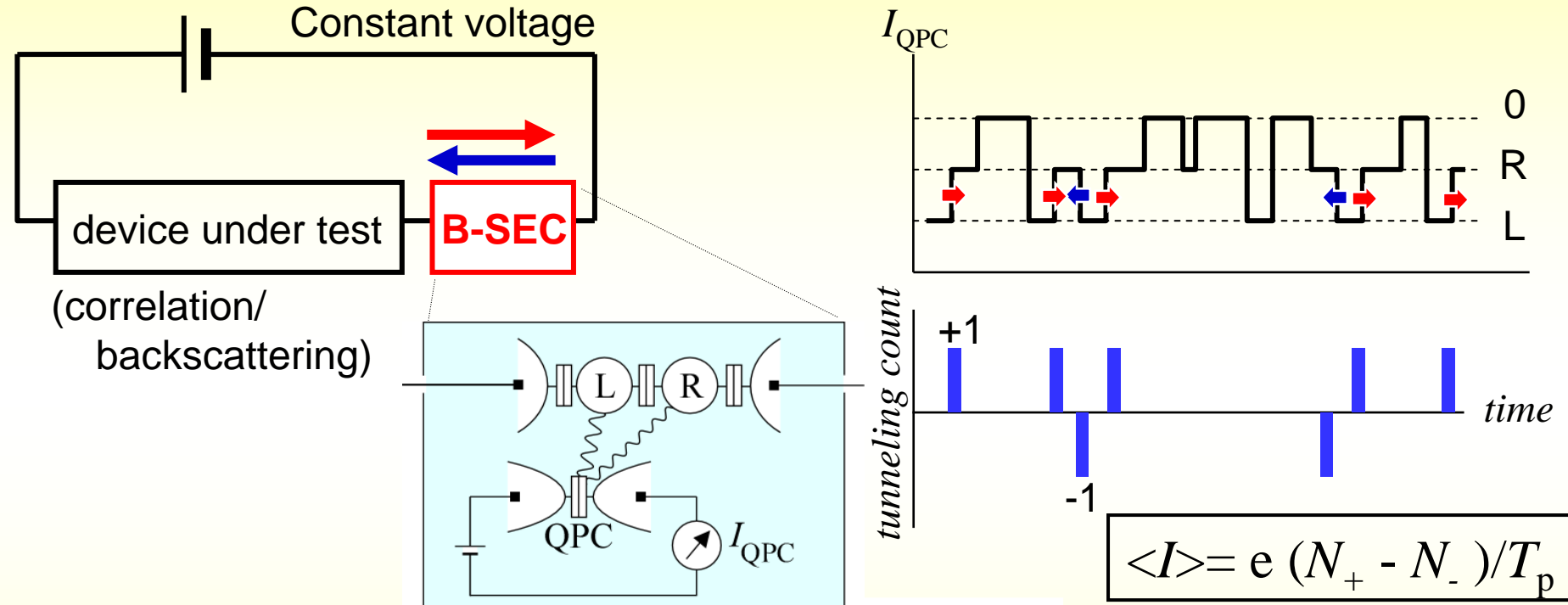
*T. Fujisawa, R. Tomita, T. Hayashi, and Y. Hirayama,
"Bidirectional counting of single electrons",
Science 312, 1634 (2006).*

Photon counting vs. Electron counting

	Photon counting (optical light)	Electron counting (Electrical current)
Interests	photon statistics coherent/squeezed state entanglement	electron statistics  cf. low-freq. shot noise sub-Poissonian fractional charge higher-order moment
Interaction	non-interacting (in vacuum and fiber) (usually) unidirectional	interacting electron-electron (-environment) backscattering/correlation Bidirectional counting is essential



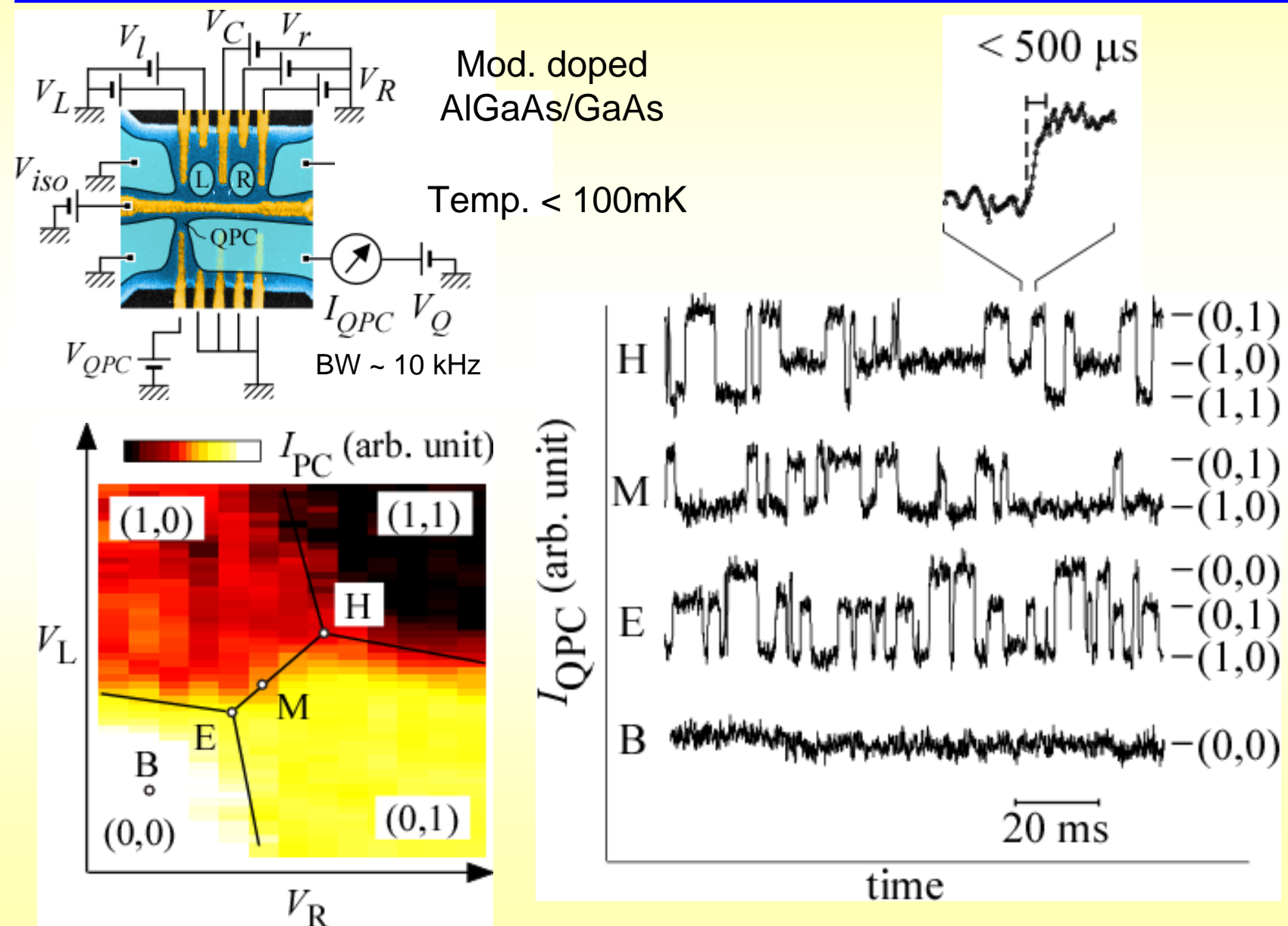
Bidirectional single-electron counter (B-SEC)



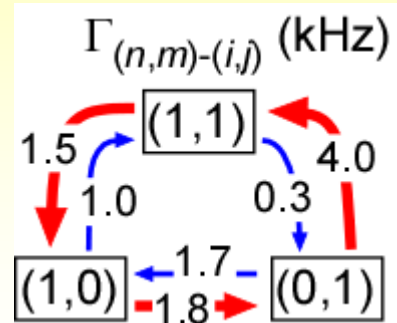
Ideal electron counter

- [**sensitivity**] counting single-electron transport (phase will be lost)
- [**speed**] high bandwidth for detecting individual electron transport
- [**bidirectional**] counting forward and backward transport
- [**zero impedance**] no scattering in SEC (ballistic)

Single electron hopping between the dots



Rate equation for single-electron transport



The transport is governed by the rate equation.

Probability ρ_i for
charge state i (L, R, 2)

$$\rho(t) = \begin{pmatrix} \rho_L \\ \rho_R \\ \rho_2 \end{pmatrix}$$

$$\frac{d}{dt} \rho(t) = M \rho(t)$$

$$M = \begin{pmatrix} -\Gamma_{L \rightarrow 0} - \Gamma_{L \rightarrow R} - \Gamma_{L \rightarrow 2} & \Gamma_{R \rightarrow L} & \Gamma_{2 \rightarrow L} \\ \Gamma_{L \rightarrow R} & -\Gamma_{R \rightarrow 0} - \Gamma_{R \rightarrow L} - \Gamma_{R \rightarrow 2} & \Gamma_{2 \rightarrow R} \\ \Gamma_{L \rightarrow 2} & \Gamma_{R \rightarrow 2} & -\Gamma_{2 \rightarrow L} - \Gamma_{2 \rightarrow R} \end{pmatrix}$$

Current through
barrier k (L, C, R): $I_k(t) = \sum v_k \rho(t)$

v_k : Velocity matrix
for $k=c$ (central barrier): $v_C = \begin{pmatrix} \Gamma_{L \rightarrow R} & 0 & 0 \\ 0 & -\Gamma_{R \rightarrow L} & 0 \\ 0 & 0 & 0 \end{pmatrix}$

Average current: $I_0 = \langle I_k(t) \rangle$

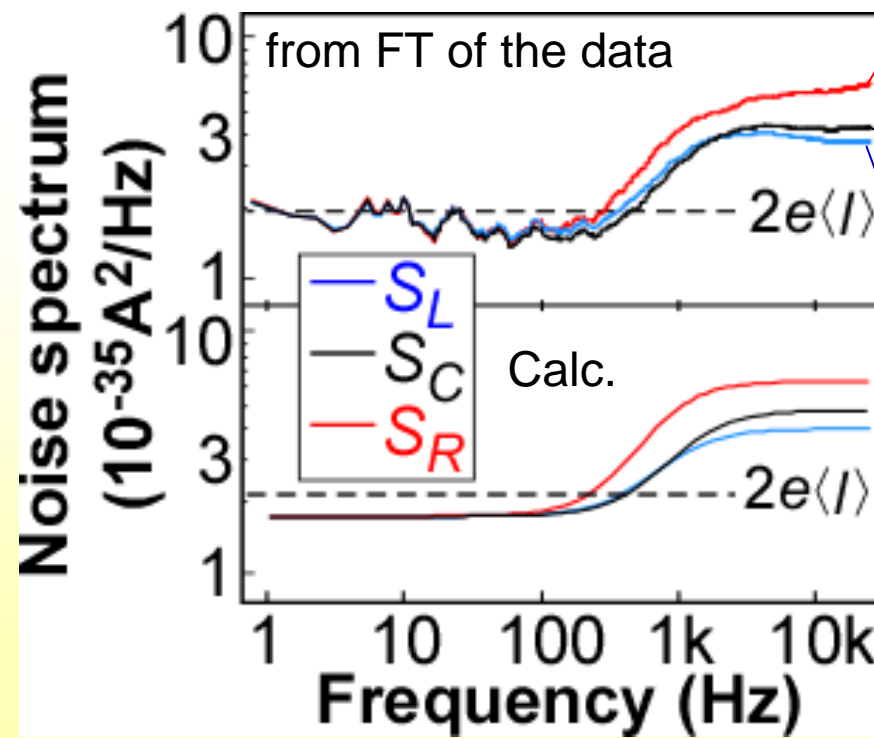
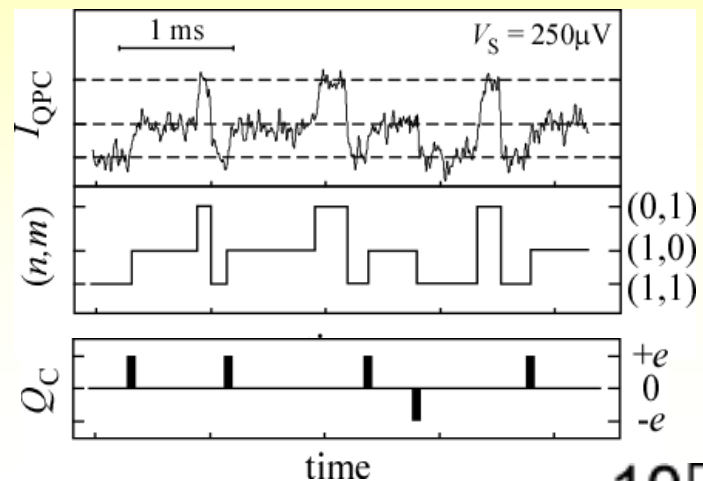
Current correlation: $C_{kk}(t) = \frac{1}{2} \langle \{\Delta I_k(t), \Delta I_k(0)\} \rangle$

Noise of the current: $S_{kk}(\omega) = 2 \int_{-\infty}^{\infty} e^{i\omega t} C_{kk}(t) dt$

Higher-order moment: $M_n = \langle \langle I^n \rangle \rangle$

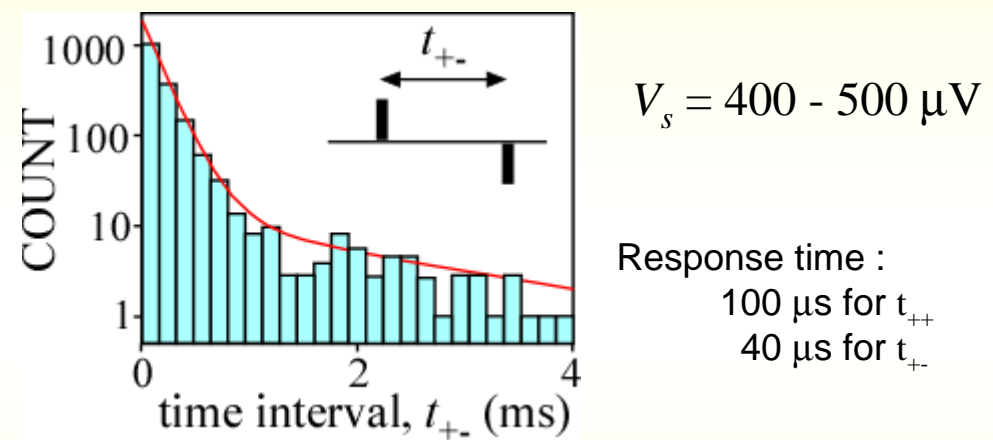
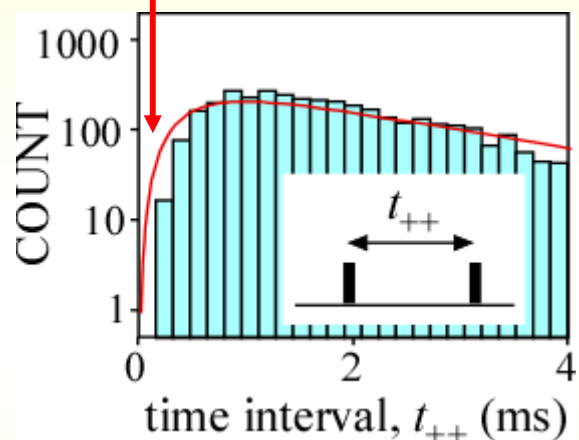
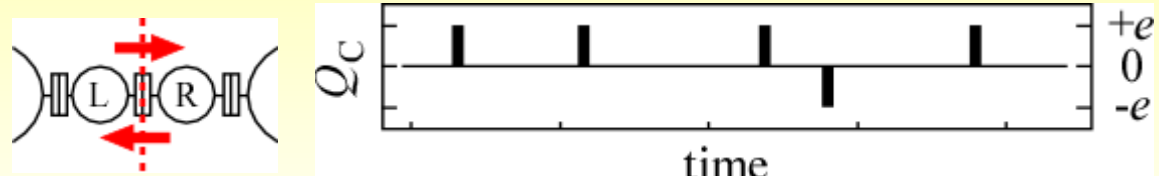
S. Hershfield et al., Phys Rev. B 47, 1967 (1993).
D. A. Bagrets and Yu. V. Nazarov,
Phys. Rev. B 67, 085316(2003).

Noise spectrum of tunneling current



Forward (reverse) recurrence time

Anti-bunching correlation



— solution of the rate equations

$$P_{++}(t) = \Gamma_{L \rightarrow R} \rho_L(t)$$

$$P_{+-}(t) = \Gamma_{R \rightarrow L} \rho_R(t)$$

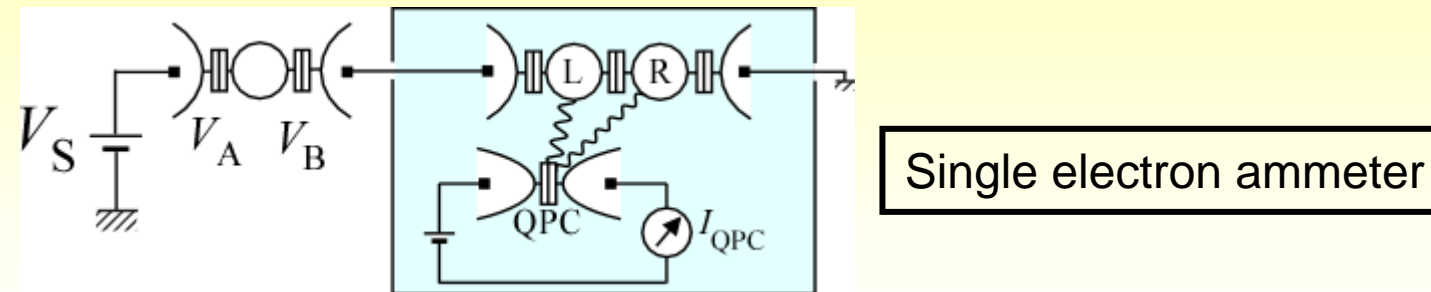
$$\frac{d}{dt} \rho(t) = M_{\text{int}} \rho(t)$$

initial condition

$$\rho_R(t=0) = 1$$

$$M_{\text{int}} = \begin{pmatrix} -\Gamma_{L \rightarrow 0} - \Gamma_{L \rightarrow R} - \Gamma_{L \rightarrow 2} & 0 & \Gamma_{2 \rightarrow L} \\ 0 & -\Gamma_{R \rightarrow 0} - \Gamma_{R \rightarrow L} - \Gamma_{R \rightarrow 2} & \Gamma_{2 \rightarrow R} \\ \Gamma_{L \rightarrow 2} & \Gamma_{R \rightarrow 2} & -\Gamma_{2 \rightarrow L} - \Gamma_{2 \rightarrow R} \end{pmatrix} \quad \begin{aligned} \Gamma_{R \rightarrow L} &= 38.1, \Gamma_{L \rightarrow R} = 11.8 \\ \Gamma_{R \rightarrow 2} &= 85.1, \Gamma_{2 \rightarrow R} = 2.5 \\ \Gamma_{L \rightarrow 2} &= 11.1, \Gamma_{2 \rightarrow L} = 39.3 \end{aligned}$$

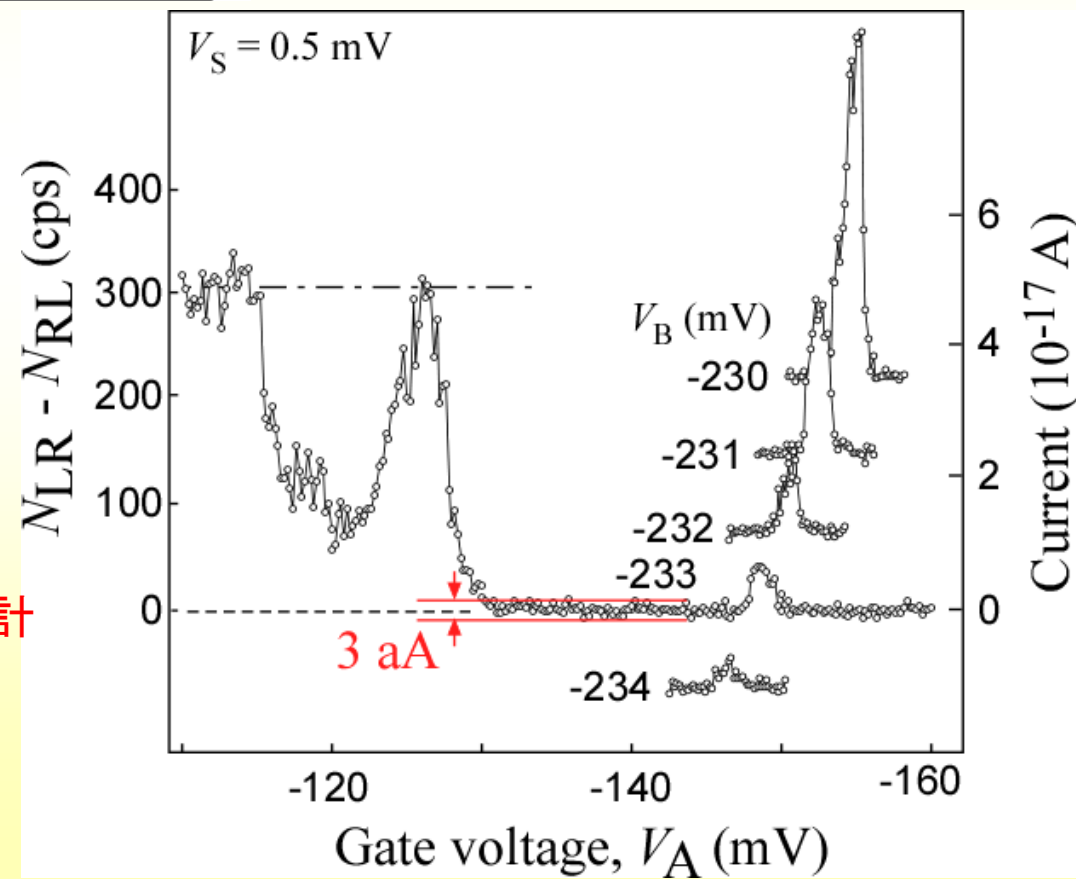
SEC of tunneling current through a QD



Single electron ammeter

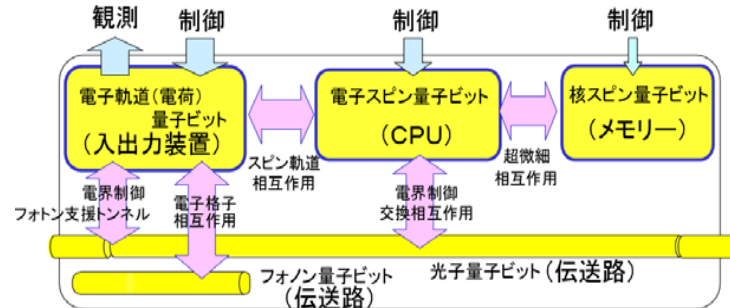
超高感度な電流計

単一電子電流計: 究極的な電流計



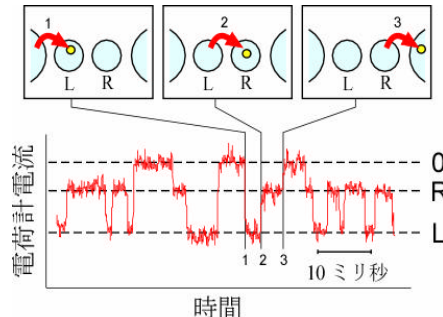
まとめ

計画: 集積化量子情報処理システム(構想)



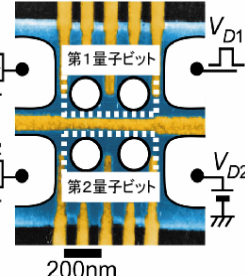
半導体中の様々な自由度を積極的に活用し、機能的な情報処理システムを目指します。

成果2: 単一電子電流計



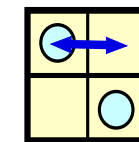
量子ドットの電荷状態を正確に測定することにより、電流を運ぶ電子一個一個が、いつ、どちらの方向に動いたかが分かる、究極の電流計を実現しました。

成果1: 多機能二量子ビット操作

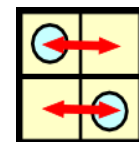


複数の二量子ビット操作をそれぞれ1ステップで実現することができる「多機能二量子ビット素子」を実現しました。

制御反転操作



交換操作



波及効果

半導体量子コンピュータ

電荷状態・電子スピン・核スピンなどの量子状態を用いて、機能的な量子情報処理デバイスの実現を目指します。

シングル・エレクトロニクス

たった1個の電子・電子スピン・核スピンによって動作するエレクトロニクスを創造し、高感度測定技術や低消費電力素子への応用を目指します。